

酶标法观察尖吻蝾出血毒素 I 对毛细血管的作用

何华平 王玉珍 徐 洵

(中国科学技术大学生物系 合肥)

摘 要

从尖吻蝾蛇毒中分离得到的出血毒素 I (AaHI) 具有破坏血管系统并造成广泛出血的作用。本文报道用辣根过氧化物酶标记的 AaHI 可以特异地结合在毛细血管内皮细胞外膜上, 由此推测内皮细胞膜上存在 HaHI 的受体或作用位点。

关键词: 尖吻蝾蛇毒, 出血毒素, 酶标, 蛇毒

从尖吻蝾蛇毒中分离得到的出血毒素 I (AaHI) 具有破坏血管壁, 造成广泛出血的作用。早期观察了解到, 出血毒素作用于血管壁后, 血管壁发生破裂 (或毛细血管内皮细胞间隙增大), 红细胞外漏。Ownby 等报道了蛇毒出血毒素对毛细血管破坏作用的电镜观察, 但更深入工作尚未见报道。本文报道使用酶标方法观察 AaHI 在兔肌组织的分布和作用。目的是观察毒素 I 在动物组织中的特异结合位点, 为探讨其出血作用机理及蛇伤防治提供理论基础, 也为临床上其它出血性疾病研究寻求共同规律。

材 料 和 方 法

材料 出血毒素 I (AaHI), 按文献方法制备; 辣根过氧化物酶 (HRP, RZ33), 2, 4——二硝基氟苯 (FDNB), 均为中科院上海生化所东风生化试剂厂产品; 过碘酸钠 (NaIO_4), 北京化工厂产品, 分析纯; 聚乙二醇 (PEG), Sephadex-G75, Pharmacia 产品; 透射电镜 HITAACHI H800 型; 健康家兔, 约 2.5 kg。

方法 用过碘酸氧化法交联 HRP 与 AaHI。5 mg HRP 溶于 1.0 ml 0.3 M pH 8.1 的 NaHCO_3 中, 加入 0.1 ml 1% FDNB, 室温下搅拌 1 小时后加入 1 ml 0.16 M NaIO_4 , 反应 30 分钟, 然后加入 1 ml 0.16 M PEG, 室温下搅拌 1 小时以终止 NaIO_4 的氧化反应。4℃ 下对 0.01 M pH 9.5 的 NaHCO_3 - NaCO_3 缓冲液充分透析, 除去 FDNB, 加入含

5 mg AaH I 的 0.1M pH9.5 的 Na_2CO_3 缓冲液, 室温下反应 3 小时, 4℃ 下对 0.02M 加磷酸缓冲液充分透析。

Sephadex-G75 过柱。交联产物过 Sephadex-G75 柱, 用 0.02M 磷酸缓冲液平衡、洗脱, 流速 8 ml/hr。

活体处理兔肌肉组织并进行电镜样品制备。家兔死后迅速解剖腿肌, 取一小块立刻投入经液氮预冷的正己烷中, 稍后用锋利刀片将肌块修成约 $2 \times 5 \times 7$ mm 大小, 控制厚度约 25 μm 进行冰冻切割, 蒸馏水中迅速展片后捞出至载玻片上, 放潮湿培养皿中, 将 HRP-AaHI 滴在组织切片上, 浸没处理 1 小时, 之后用 0.2M pH7.2 磷酸缓冲液充分漂洗, 加入 HRP 底物 H_2O_2 和 3,3'-二氨基联苯胺四酸盐 (DAB), 显色反应 30 分钟, 用 0.2M pH7.2 磷酸缓冲液充分漂洗; 以下经过常规电镜制片过程: 锇酸固定, 丙酮分级脱水, 渗透, Epon618 包埋, 聚合, 切片, 最后在 HITACHI 800 型分析电镜上观察。

结 果

1. 交联产物经 Sephadex-G75 柱分离, 洗脱曲线见图 1。其中 I、II、III 峰分别为 HRP-AaHI (分子量约 66,000)、HRP (分子量约 44,000) 和 AaHI (分子量约 22,000)。收集 HRP-AaHI, 透析、浓缩。

2. 电镜观察。如图 2。

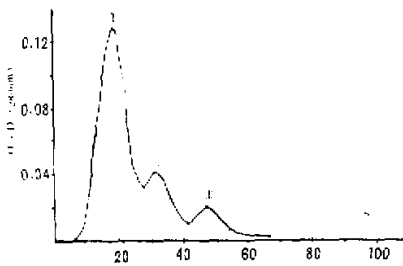


Fig 1. GelFiltration of HRP-AaHI

Sephadex G-75 column (1.5 \times 100) was preequilibrated with 0.02M PBS and eluted with same solution at a flow rate of 8 ml/hr. 2.5ml fractions were collected I-HRP-AaHI II-HRP III-AaHI

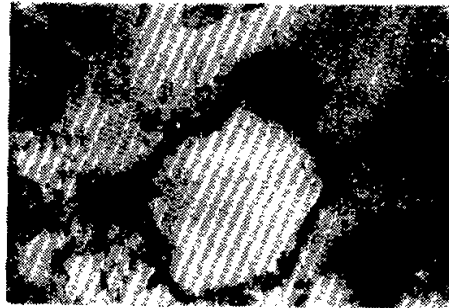


Fig 2. Electromicroscopic photo of HRP-AaHI deposited on capillaries

Specific attachment of HRP-AaHI to the endothelial cells is shown. $\times 70000$

讨 论

尖吻蝮蛇 (即五步蛇) 蛇毒具强血循毒性, 咬伤后主要症状是全身广泛性出血和局部性坏死。本实验室曾从粗毒中分离得到出血毒素 I、II、III, 其中以出血毒素 I 的出血活性最大, 其最小出血剂量为 0.4 μg 。关于蛇毒出血毒素的作用机理, 迄今见到

报道的是Ownby 和 Tsuchiya 分别对 C. Atrox 蛇毒及 T. Flaroridis 蛇毒的出血毒组分进行研究。Ownby 等从电镜观察到出血毒素对血管内皮有直接溶解作用。Tsuchiya 等则观察到在该毒素作用下, 红细胞能直接穿过内皮细胞接合区, 逸出到血管外。但出血毒素和血管壁的相互作用以及更进一步的机理均未阐明。本文用过氧化物酶标记出血毒素 I, 经电镜观察, 了解出血毒素在生物体内作用部位。

本实验对电镜样品未作常规染色, 完全用 HRP 催化过氧化氢和 3, 3'-二氨基联苯胺四盐酸盐的显色反应显示组织结构, 以期真实地反映 AaHI 的作用位点。电镜下可见特异性染色集中于毛细血管内皮细胞外壁周围, 而在其他组织结构处未见明显的特异性染色。由此可推测, AaHI 在毛细血管内皮细胞外壁有相应受体或作用位点。我们推测, AaHI 与内皮细胞外壁受体或作用位点结合后引起受体后水平反应, 继而导致毛细血管内皮细胞壁破裂(或间隙增大)而致红细胞外漏, 这可能是出血毒作用机制之一。

参 考 文 献

- 康莲娣 1981 尖吻蝮蛇素小鼠骨骼肌和心肌损伤的电子显微镜初步观察。《动物学研究》2(4) 增刊 97。
 朱培坤 1983 《免疫酶技术》山东科学出版社。
 Nakane, P. K. and Karwaj, A. 1974 Peroxidase-labelled antibody—A new method of conjugation. *J. Histochem.* 22(12)1084.
 Ownby, C. L., Kainer, R. A. and Tu, A. T. 1974 Pathogenesis of hemorrhage induced by rattlesnake venom. *Am. J. Pathol.* 75 401.
 Tsuchiya, M., Ohshio, C., Ohashi, M., Ohsaka, A., Suzuki, K. and Fujishiro, Y. 1974 Cinematographic and electron microscopic analysis of the hemorrhage induced by the main hemorrhagic principle HRI, isolated from the venom of *Trimeresurus flavoviridis*. *Throm. Diath. Haemorrh.*, Suppl. LX. 439.
 Xu, X., Wang, C., Liu, T. and Lu, Z. 1981 Purification and characterization of hemorrhagic components from *Aghistrodon acutus* (Hundred Pace Snake) venom. *Toxicon* 19(5)633.

THE EFFECT OF HEMORRHAGIN I (*AGKISTRODON ACUTUS*) IN CAPILLARIES PEROXIDASE CONJUGATED METHODS

He Huaping Wang Yuzhen Xu Xun

(Department of Biology, University of Science and Technology of China, Hefei)

Hemorrhagin I (AaHI) isolated from *A. acutus* venom causes rupture of vascular system and extensive hemorrhage. The specific attachment of HRP-AaHI to the endothelial cell by the method of horseradish peroxidase conjugation is reported in this paper. The results suggest that receptor or binding site of hemorrhagin I might be present on the outer-membrane of endothelial cells.

Key word: Agkistrodon acutus, Hemorrhagin, Enzyme labeling, Snake venom